

ЭЛЕКТРОДИНАМИКА
И РАСПРОСТРАНЕНИЕ РАДИОВОЛН

УДК 537.874;537.877;512.643.2;001.891.572

АНАЛИТИЧЕСКИЙ МЕТОД ИССЛЕДОВАНИЯ
НЕОБЫКНОВЕННОЙ ВОЛНЫ В ОДНОМЕРНОМ
АНИЗОТРОПНОМ ФОТОННОМ КРИСТАЛЛЕ¹

© 2020 г. К. А. Выговтов^{a, b, *}, Е. А. Барабанова^{a, b}, В. М. Вишневецкий^b, Ю. А. Максименко^a

^aАстраханский государственный технический университет,
ул. Татищева, 16, Астрахань, 414056 Российская Федерация

^bИнститут проблем управления им. В.А. Трапезникова РАН,
ул. Профсоюзная, 65, Москва, 117342 Российская Федерация

*E-mail: vyovtov_konstan@mail.ru

Поступила в редакцию 17.12.2019 г.

После доработки 10.01.2020 г.

Принята к публикации 28.02.2020 г.

Рассмотрено поведение необыкновенной волны в слоистой одноосной анизотропной среде. Найдена матрица преобразования для однородного слоя и для многослойной структуры с произвольным числом слоев в аналитическом виде в элементарных функциях. Введено понятие парциальных волн в слоистой среде и их коэффициентов вклада для необыкновенной волны. Показано, что коэффициенты отражения и прохождения необыкновенной волны для плоскопараллельной пластины равны сумме коэффициентов отражения и прохождения парциальных волн.

DOI: 10.31857/S0033849420070165

ВВЕДЕНИЕ

В настоящее время большое внимание уделяется разработке новых микроволновых и оптических систем связи и обработки информации [1–3]. Особенно остро этот вопрос стоит в связи с необходимостью перехода к системам 5G/6G (пятого/шестого поколения) стандартов [4, 5]. Увеличение скорости передачи и обработки информации очевидно возможно только при переходе в более высокие диапазоны, для которых не существует диодной и транзисторной элементной базы, а существующие СВЧ-устройства оказываются достаточно громоздкими. Более того, использование нелинейных элементов в оптическом диапазоне не приводит к увеличению скорости передачи и обработке информации, поскольку сами эти процессы имеют малую скорость. В связи с этим существует необходимость создания новых линейных устройств приемо-передающих трактов, обеспечивающих их надежное функционирование. Создание таких устройств, прежде всего, требует глубокого понимания физических процессов в СВЧ и оптических структурах, разработки математического аппарата для их расчета и описания принципа действия. Важнейшим клас-

сом таких устройств являются управляемые структуры с распределенными параметрами на основе многослойных анизотропных материалов [6–9].

Цель данной работы – исследовать поведение необыкновенной волны в одноосной анизотропной среде. Отличием данной волны от обыкновенной является отличие волновых чисел прямой и обратной волн, а также скоростей распространения этих волн. Кроме того, при ее отражении от границы раздела углы падения и отражения также будут различными. Для однородной среды свойства необыкновенной волны исследованы достаточно подробно [8, 9], не составляет труда и нахождение матрицы преобразования двухслойной или трехслойной структуры. Однако увеличение числа слоев приводит к усложнению результирующих выражений настолько, что они не поддаются дальнейшему аналитическому исследованию. Поэтому неоднородные анизотропные среды при распространении в них необыкновенной волны описывали, как правило, численными методами или исследовали экспериментально [10–12]. В данной работе впервые получена матрица преобразования для обыкновенной волны в многослойной среде с произвольным конечным числом слоев и произвольным направлением оси анизотропии в каждом слое в аналитическом виде в элементарных функциях. Данная матрица явля-

¹ Работа доложена на Третьей Международной молодежной конференции “Информационные технологии и технологии коммуникации: современные достижения” (Астрахань, 1–5 октября 2019 г.).

ется конечной суммой унимодулярных матриц с некоторыми коэффициентами. В соответствии с видом матрицы введено понятие парциальных волн многослойной структуры и коэффициентов вклада парциальных волн, поскольку с точки зрения физики унимодулярная матрица описывает поведение некоторого гармонического колебания. Проведен анализ отражения и прохождения волны через плоско-параллельную многослойную пластину и найдено, что результирующие коэффициенты отражения и прохождения равны сумме коэффициентов отражения и прохождения парциальных волн.

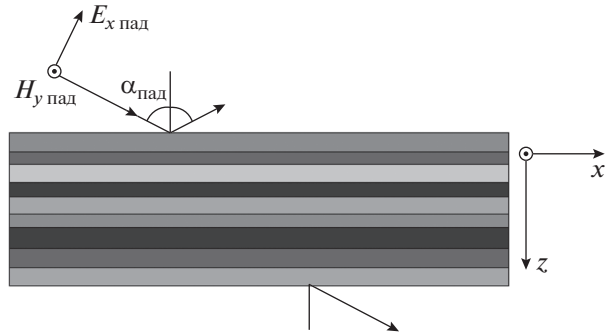


Рис. 1. Геометрия задачи.

1. ПОСТАНОВКА ЗАДАЧИ

Рассмотрим поведение необыкновенной волны в одномерном фотонном кристалле, образованного одноосными анизотропными слоями с произвольном количестве слоев в периоде при произвольном направлении оси анизотропии (рис. 1). Диэлектрическая проницаемость каждого слоя описывается тензором

$$\epsilon = \begin{pmatrix} \epsilon_{11} & 0 & 0 \\ 0 & \epsilon_{11} & 0 \\ 0 & 0 & \epsilon_{33} \end{pmatrix}, \quad (1)$$

а магнитная проницаемость μ является скаляром. С использованием преобразования координат Эйлера [13], тензор (1) в системе координат, связанной с границей раздела слоев, может быть записан в виде

$$\epsilon = \begin{pmatrix} \epsilon_{11} \cos^2 \theta + \epsilon_{33} \sin^2 \theta & 0 & (\epsilon_{11} - \epsilon_{33}) \cos \theta \sin \theta \\ 0 & \epsilon_1 & 0 \\ (\epsilon_{11} - \epsilon_{33}) \cos \theta \sin \theta & 0 & \epsilon_{11} \sin^2 \theta + \epsilon_{33} \cos^2 \theta \end{pmatrix} = \begin{pmatrix} \epsilon_{xx} & 0 & \epsilon_{xz} \\ 0 & \epsilon_{yy} & 0 \\ \epsilon_{xz} & 0 & \epsilon_{zz} \end{pmatrix}. \quad (2)$$

Решение уравнений Максвелла для данного случая дает две волны: обыкновенную и необыкновенную. Волновые числа необыкновенной волны для данного случая, полученные в результате решения уравнений Максвелла, имеют вид

$$k_{z1,2} = \frac{-\epsilon_{xx} k_x \pm \sqrt{k_x^2 \epsilon_{xx} (\epsilon_{xx} - \epsilon_{zz}) - \omega^2 \mu \epsilon_{zz} (\epsilon_{xx} \epsilon_{zz} - \epsilon_{xz}^2)}}{\epsilon_{zz}}. \quad (3)$$

Важно отметить, что волновые числа прямой и обратной волн в данном случае являются различными, что существенно усложняет выражения, описывающие поведение такой волны. Выраже-

ния, связывающие компоненты электромагнитного поля необыкновенной волны, имеют вид

$$E_x = \frac{\epsilon_{xz} k_x + \epsilon_{zz} k_z}{\omega (\epsilon_{zz} \epsilon_{zz} - \epsilon_{xz}^2)} H_y, \quad (4)$$

$$E_z = -\frac{\epsilon_{xx} k_x + \epsilon_{xz} k_z}{\omega (\epsilon_{zz} \epsilon_{zz} - \epsilon_{xz}^2)} H_y.$$

Задачей данной работы является разработка математического метода для описания поведения необыкновенной волны в одномерном фотонном кристалле с произвольным числом одноосных анизотропных слоев в периоде при произвольном направлении оси анизотропии. Кроме того, задачей является исследование коэффициентов отражения и прохождения многослойной пластины с произвольным конечным числом слоев (см. рис. 1).

2. МЕТОД МАТРИЦЫ ПРЕОБРАЗОВАНИЯ

Математическая модель поведения необыкновенной волны в одноосной анизотропной среде при произвольном наклоне оси анизотропии основывается на методе матрицы преобразования, которая связывает тангенциальные компоненты полей на границах структуры:

$$\begin{pmatrix} E_{x2}(z) \\ H_{y2}(z) \end{pmatrix} = \mathbf{L}(z) \begin{pmatrix} E_{x1} \\ H_{y1} \end{pmatrix}. \quad (5)$$

Для однородного слоя данная матрица является фундаментальной системой решений уравнений Максвелла с постоянными коэффициентами и ее нахождение не представляет труда. Что касается матрицы преобразования многослойной структуры, то она является произведением матриц преобразования однородных слоев и такое произведение автоматически удовлетворяет граничным условиям на границах раздела слоев. Однако такое решение было представлено только для случая обыкновенной волны, когда скорости прямых и обратных волн в однородных слоях равны [14].

3. МАТРИЦА ПРЕОБРАЗОВАНИЯ ОДНОРОДНОГО СЛОЯ

Для однородного слоя матрица находится с использованием типовой методики [14, 15] (Приложение 1) и имеет вид

$$\mathbf{L}(z) = \frac{1}{\chi_{Ex1} - \chi_{Ex2}} \begin{vmatrix} \chi_{Ex1} \exp(jk_1z) - \chi_{Ex2} \exp(jk_2z) & -\chi_{Ex1}\chi_{Ex2} [\exp(jk_1z) - \exp(jk_2z)] \\ \exp(jk_1z) - \exp(jk_2z) & -\chi_{Ex2} \exp(jk_1z) + \chi_{Ex1} \exp(jk_2z) \end{vmatrix}, \quad (6)$$

где

$$\chi_{1,2} = \frac{k_{z1,2}\epsilon_{zz} + k_x\epsilon_{xz}}{\omega(\epsilon_{xx}\epsilon_{zz} - \epsilon_{xz}\epsilon_{zx})}. \quad (7)$$

В отличие от матрицы для волны в изотропной среде или обыкновенной волны в анизотропной

среде, когда волновые числа прямых и обратных волн равны и элементы матрицы – тригонометрические функции [14, 15], элементы (6) представляют собой сумму экспонент. Определитель этой матрицы равен $\exp[j(k_1z + k_2z)]$, т.е. матрица (6) является унимодулярной. Однако запись (6) в виде

$$\begin{aligned} \mathbf{L}(z) &= \frac{1}{\chi_{Ex1} - \chi_{Ex2}} \left(\begin{vmatrix} \chi_{Ex1} \exp(jk_1z) & -\chi_{Ex1}\chi_{Ex2} \exp(jk_1z) \\ \exp(jk_1z) & -\chi_{Ex2} \exp(jk_1z) \end{vmatrix} - \right. \\ &\quad \left. - \begin{vmatrix} \chi_{Ex2} \exp(jk_2z) & -\chi_{Ex1}\chi_{Ex2} \exp(jk_2z) \\ \exp(jk_2z) & -\chi_{Ex1} \exp(jk_2z) \end{vmatrix} \right) = \\ &= \frac{\exp(jk_1z)}{\chi_{Ex1} - \chi_{Ex2}} \begin{vmatrix} \chi_{Ex1} & -\chi_{Ex1}\chi_{Ex2} \\ 1 & -\chi_{Ex2} \end{vmatrix} - \frac{\exp(jk_2z)}{\chi_{Ex1} - \chi_{Ex2}} \begin{vmatrix} \chi_{Ex2} & -\chi_{Ex1}\chi_{Ex2} \\ 1 & -\chi_{Ex1} \end{vmatrix} \end{aligned} \quad (8)$$

дает нам сингулярное разложение матрицы преобразования. Для перехода к унимодулярным тригонометрическим матрицам, описывающим гармонические колебания, необходимо использовать преобразование Эйлера.

4. МАТРИЦА ПРЕОБРАЗОВАНИЯ МНОГОСЛОЙНОЙ СТРУКТУРЫ

Матрицу преобразования для N -слойной структуры в общем случае находим как [14, 15] произведение

$$\begin{aligned} \mathbf{L}_\Sigma(d) &= \mathbf{L}_N(d_N)\mathbf{L}_{N-1}(d_{N-1})\dots\mathbf{L}_1(d_1) = \\ &= \prod_{i=N}^1 \mathbf{L}_i(d_i). \end{aligned} \quad (9)$$

Однако аналитического выражения для произвольного конечного числа слоев на сегодняшний день не получено. В данной работе с использованием достаточно громоздких алгебраических преобразований (Приложение 2) матрица преобразования для данного случая найдена в виде конечной суммы матриц \mathbf{M}_q с коэффициентами вклада ϑ_q :

$$\mathbf{L}(d) = \sum_{q=1}^N \vartheta_q \mathbf{M}_q, \quad (10)$$

где

$$\begin{aligned} \mathbf{M}_q &= \\ &= \begin{vmatrix} (-1)^{\sum_{i=1}^N F_{q,i}+N-1} \chi_{1+F_{q,1}}^{(1)} & (-1)^{\sum_{i=1}^N F_{q,i}+N} \gamma_{1+F_{q,1}}^{(1)} \gamma_{2-F_{q,N}}^{(N)} \\ (-1)^{\sum_{i=1}^N F_{q,i}+N-1} & (-1)^{\sum_{i=1}^N F_{q,i}+N} \gamma_{2-F_{q,N}}^{(N)} \end{vmatrix}, \quad (11) \\ \vartheta_q &= \frac{\prod_{i=1}^{N-1} (\chi_{2-F_{q,i}}^{(i)} - \chi_{1+F_{q,i+1}}^{(i+1)})}{\prod_{i=1}^N (\chi_1^{(i)} - \chi_2^{(i)})} \exp\left(\sum_{i=1}^N jk_{1+F_{q,i}}^{(i)} z_i\right). \quad (12) \end{aligned}$$

Функции $F_{q,i}$ определяются выражением

$$F_{q,i} = \frac{1}{2} 1 - \text{sign} \left\{ \sin \left[\frac{\pi}{2^{N+1-i}} (2p - 1) \right] \right\}, \quad (13)$$

отличным от полученного авторами ранее [16].

Таким образом, матрица преобразования одноосного анизотропного фотонного кристалла с произвольным числом слоев в периоде найдена в аналитическом виде в элементарных функциях.

Матрица (10) является унимодулярной, что свидетельствует о выполнении закона сохранения энергии [17], однако, разложение представляет собой конечную сумму 2^N сингулярных матриц ($\det \mathbf{M}_q = 0$). Для перехода к унимодулярным матрицам, описывающим гармонические коле-

бания, следует использовать преобразование Эйлера. Тогда вместо (10) запишем

$$\mathbf{L}(d) = \sum_{q=1}^{2^N} v_q (\mathbf{M}_{q \cos} + \mathbf{M}_{q \sin}), \quad (14)$$

где

$$\begin{aligned} \mathbf{M}_{q \cos} = & \left((-1)^{\sum_{i=1}^N F_{q,i} + N - 1} \sqrt{\frac{\chi_{1+F_{q,1}}^{(1)}}{\gamma_{2-F_{q,N}}^{(N)}}} \cos \left(\sum_{i=1}^N k_{1+F_{q,i}}^{(i)} z_i \right) \right. \\ & \left. j (-1)^{\sum_{i=1}^N F_{q,i} + N - 1} \frac{1}{\sqrt{\gamma_{1+F_{q,1}}^{(1)} \gamma_{2-F_{q,N}}^{(N)}}} \sin \left(\sum_{i=1}^N k_{1+F_{q,i}}^{(i)} z_i \right) \right) \times (15) \\ & \left. j (-1)^{\sum_{i=1}^N F_{q,i} + N} \sqrt{\frac{\chi_{1+F_{q,1}}^{(1)} \gamma_{2-F_{q,N}}^{(N)}}{\gamma_{1+F_{q,1}}^{(1)}}} \sin \left(\sum_{i=1}^N k_{1+F_{q,i}}^{(i)} z_i \right) \right) \\ & \times \left((-1)^{\sum_{i=1}^N F_{q,i} + N} \sqrt{\frac{\gamma_{2-F_{q,N}}^{(N)}}{\gamma_{1+F_{q,1}}^{(1)}}} \cos \left(\sum_{i=1}^N k_{1+F_{q,i}}^{(i)} z_i \right) \right) \\ \mathbf{M}_{q \sin} = & \left(j (-1)^{\sum_{i=1}^N F_{q,i} + N - 1} \sqrt{\frac{\chi_{1+F_{q,1}}^{(1)}}{\gamma_{2-F_{q,N}}^{(N)}}} \sin \left(\sum_{i=1}^N k_{1+F_{q,i}}^{(i)} z_i \right) \right) \times \\ & \left((-1)^{\sum_{i=1}^N F_{q,i} + N - 1} \frac{1}{\sqrt{\gamma_{1+F_{q,1}}^{(1)} \gamma_{2-F_{q,N}}^{(N)}}} \cos \left(\sum_{i=1}^N k_{1+F_{q,i}}^{(i)} z_i \right) \right) \times (16) \\ & \left((-1)^{\sum_{i=1}^N F_{q,i} + N} \sqrt{\frac{\chi_{1+F_{q,1}}^{(1)} \gamma_{2-F_{q,N}}^{(N)}}{\gamma_{1+F_{q,1}}^{(1)}}} \cos \left(\sum_{i=1}^N k_{1+F_{q,i}}^{(i)} z_i \right) \right) \\ & \times \left(j (-1)^{\sum_{i=1}^N F_{q,i} + N} \sqrt{\frac{\gamma_{2-F_{q,N}}^{(N)}}{\gamma_{1+F_{q,1}}^{(1)}}} \sin \left(\sum_{i=1}^N k_{1+F_{q,i}}^{(i)} z_i \right) \right) \\ v_q = & \frac{\prod_{i=1}^{N-1} (\chi_{2-F_{q,i}}^{(i)} - \chi_{1+F_{q,i+1}}^{(i+1)})}{\prod_{i=1}^N (\chi_1^{(i)} - \chi_2^{(i)})} \sqrt{\frac{\gamma_{1+F_{q,1}}^{(1)} \gamma_{2-F_{q,N}}^{(N)}}{\gamma_{1+F_{q,1}}^{(1)}}}. \quad (17) \end{aligned}$$

Матрицы $\mathbf{M}_{q \cos}$ и $\mathbf{M}_{q \sin}$, полученные в результате преобразования Эйлера, являются унимодулярными и, следовательно, описывают незатухающие колебания [17]. Действительно, с математической точки зрения унитарное преобразование сохраняет площадь фигуры, построенной на соответствующих векторах. Таким образом, разложение (14) дает представление необыкновенной волны в одномерном анизотропном фотонном кристалле в виде суперпозиции 2^{N+1} гармонических волн. Волны, описываемые \mathbf{M}_q , назовем парциальными, волны, описываемые $\mathbf{M}_{q \cos}$ и $\mathbf{M}_{q \sin}$, назовем парциальными косинусной и синусной волнами, соответственно, а ϑ_q – коэффициентом вклада парциальной волны.

Учитывая вид матрицы преобразования (10) и используя методику [14, 15], найдем коэффициент отражения необыкновенной волны от многослойной анизотропной пластины

$$\begin{aligned} R = & \frac{\rho^2 l_{21} \cos^2 \alpha_{\text{пад}} - \rho(l_{11} - l_{22}) \cos \alpha_{\text{пад}} - l_{12}}{\rho^2 l_{21} \cos^2 \alpha_{\text{пад}} - \rho(l_{11} + l_{22}) \cos \alpha_{\text{пад}} + l_{12}}, \quad (18) \\ T = & \sqrt{1 - R^2}. \end{aligned}$$

Здесь $R = H_{\text{отр}}/H_{\text{пр}}$, ρ – волновое сопротивление среды, окружающей многослойную пластину, l_{mn} – элементы матрицы преобразования (10). Выражение (18) сходно с аналогичным выражением, представленным в [15]. Однако его анализ для данного случая с учетом [10] дает интересный результат. Действительно, матрица (10) связывает тангенциальные компоненты полей на границах структуры (см. (5)). При этом E_{x1} и H_{y1} в (5) включают в себя компоненты падающих и отраженных волн, а E_{x2} и H_{y2} являются компонентами прошедших волн [15]. Подставляя (10) в (5), получим

$$\begin{aligned} \begin{pmatrix} E_{x2} \\ H_{y2} \end{pmatrix} = & \left[\sum_{q=1}^{2^N} \vartheta_q \mathbf{M}_q \right] \begin{pmatrix} E_{x1} \\ H_{y1} \end{pmatrix} = \vartheta_1 \mathbf{M}_1 \begin{pmatrix} E_{x1} \\ H_{y1} \end{pmatrix} + \vartheta_2 \mathbf{M}_2 \begin{pmatrix} E_{x1} \\ H_{y1} \end{pmatrix} + \dots + \vartheta_{2^N} \mathbf{M}_{2^N} \begin{pmatrix} E_{x1} \\ H_{y1} \end{pmatrix} = \\ = & \vartheta_1 \begin{pmatrix} E_{x2}^{(1)} \\ H_{y2}^{(1)} \end{pmatrix} + \vartheta_2 \begin{pmatrix} E_{x2}^{(2)} \\ H_{y2}^{(2)} \end{pmatrix} + \dots + \vartheta_{2^N} \begin{pmatrix} E_{x2}^{(2^N)} \\ H_{y2}^{(2^N)} \end{pmatrix} = \sum_{q=1}^{2^N} \vartheta_q \begin{pmatrix} E_{x2}^{(q)} \\ H_{y2}^{(q)} \end{pmatrix} = \sum_{q=1}^{2^N} v_q \left(\begin{pmatrix} E_{x2}^{(q \cos)} \\ H_{y2}^{(q \cos)} \end{pmatrix} + \begin{pmatrix} E_{x2}^{(q \sin)} \\ H_{y2}^{(q \sin)} \end{pmatrix} \right). \quad (19) \end{aligned}$$

Учитывая, что $H_{y2} = H_{\text{пр}}$, $E_{x2} = E_{\text{пр}} \cos \alpha = \rho H_{\text{пр}} \cos \alpha$, $H_{y1} = H_{\text{пад}} + H_{\text{отр}}$, $E_{x1} = \rho(H_{\text{пад}} - H_{\text{отр}}) \cos \alpha$, запишем

$$\left| \frac{\rho H_{\text{пр}} \cos \alpha}{H_{\text{пр}}} \right| = \left| \sum_{q=1}^{2^N} \vartheta_q \mathbf{M}_q \right| \left| \frac{\rho(H_{\text{пад}} - H_{\text{отр}}) \cos \alpha}{H_{\text{пад}} + H_{\text{отр}}} \right|. \quad (20)$$

Поскольку $T = H_{\text{пр}}/H_{\text{пад}}$, $R = H_{\text{отр}}/H_{\text{пад}}$, определяемые (18), то получим

$$\left| \frac{\rho T \cos \alpha}{T} \right| = \left| \sum_{q=1}^{2^N} \vartheta_q \mathbf{M}_q \right| \left| \frac{\rho(1-R) \cos \alpha}{1+R} \right|. \quad (21)$$

По аналогии с (21) введем коэффициенты прохождения парциальных волн T_q , как

$$\left| \frac{\rho T_q \cos \alpha}{T_q} \right| = \vartheta_q \mathbf{M}_q \left| \frac{\rho(1-R) \cos \alpha}{1+R} \right| \quad (22)$$

или

$$\left| \frac{\rho T_q \cos \alpha}{T_q} \right| = \mathbf{M}_q \left| \frac{\rho(v_q - v_q R) \cos \alpha}{v_q + v_q R} \right|. \quad (23)$$

Тогда v_q является долей q -й волны в падающей, а $R_q = v_q R$ являются коэффициентами отражения парциальных волн. Таким образом, можно записать:

$$T = \sum_{q=1}^{2^N} v_q T_q; \quad R = \sum_{q=1}^{2^N} R_q. \quad (24)$$

Таким образом, результирующие коэффициенты прохождения и отражения равны сумме соответ-

ствующих коэффициентов парциальных волн. Следовательно, представленное в данной работе разложение результирующей волны имеет не только математический, но и физический смысл.

ЗАКЛЮЧЕНИЕ

В данной работе рассмотрено поведение необыкновенной волны в слоистой одноосной анизотропной среде при произвольном направлении оси анизотропии. В аналитическом виде в элементарных функциях найдена матрица преобразования для однородного слоя и для многослойной структуры с произвольным числом слоев. Введено понятие парциальных волн в слоистой среде для рассматриваемого случая. Аналитически показано, что коэффициенты отражения и прохождения необыкновенной волны для плоскопараллельной пластины равны сумме коэффициентов отражения и прохождения парциальных волн.

ПРИЛОЖЕНИЕ А

Уравнения Максвелла в прямоугольных координатах

$$\begin{aligned} \frac{\partial E_z}{\partial y} - \frac{\partial E_y}{\partial z} &= j\omega\mu H_x, & \frac{\partial H_z}{\partial y} - \frac{\partial H_y}{\partial z} &= -j\omega\epsilon_{xx} E_x - j\omega\epsilon_{xz} E_z, \\ \frac{\partial E_x}{\partial z} - \frac{\partial E_z}{\partial x} &= j\omega\mu H_y, & \frac{\partial H_x}{\partial z} - \frac{\partial H_z}{\partial x} &= j\omega\epsilon_{yy} H_y, \\ \frac{\partial E_y}{\partial x} - \frac{\partial E_x}{\partial y} &= j\omega\mu H_z, & \frac{\partial H_y}{\partial x} - \frac{\partial H_x}{\partial y} &= -j\omega\epsilon_{xz} E_x - j\omega\epsilon_{zz} E_z \end{aligned} \quad (A1)$$

для случая распространения волны в плоскости xOz принимают вид

$$\begin{aligned} -\frac{\partial E_y}{\partial z} &= j\omega\mu H_x, & \frac{\partial E_x}{\partial z} - \frac{\partial E_z}{\partial x} &= j\omega\mu H_y, \\ \frac{\partial E_y}{\partial x} &= j\omega\mu H_z, & -\frac{\partial H_y}{\partial z} &= -j\omega\epsilon_{xx} E_x - j\omega\epsilon_{xz} E_z, \\ & & \frac{\partial H_x}{\partial z} - \frac{\partial H_z}{\partial x} &= j\omega\epsilon_{yy} H_y, \\ & & \frac{\partial H_y}{\partial x} &= -j\omega\epsilon_{xz} E_x - j\omega\epsilon_{zz} E_z. \end{aligned} \quad (A2)$$

Из четвертого и шестого уравнений (A2) получим

$$\begin{aligned} E_x &= -j \frac{\epsilon_{xz}}{\omega(\epsilon_{zz}\epsilon_{zz} - \epsilon_{xz}^2)} \frac{\partial H_y}{\partial x} - j \frac{\epsilon_{zz}}{\omega(\epsilon_{zz}\epsilon_{zz} - \epsilon_{xz}^2)} \frac{\partial H_y}{\partial z}, \\ E_z &= j \frac{\epsilon_{xx}}{\omega(\epsilon_{zz}\epsilon_{zz} - \epsilon_{xz}^2)} \frac{\partial H_y}{\partial x} + j \frac{\epsilon_{xz}}{\omega(\epsilon_{zz}\epsilon_{zz} - \epsilon_{xz}^2)} \frac{\partial H_y}{\partial z}. \end{aligned} \quad (A3)$$

Подставляя (A3) во второе уравнение (A2), запишем волновое уравнение

$$\begin{aligned} \epsilon_{zz} \frac{\partial^2 H_y}{\partial z^2} + \epsilon_{xx} \frac{\partial^2 H_y}{\partial x^2} + 2\epsilon_{xx} \frac{\partial^2 H_y}{\partial x \partial z} - \\ - \omega^2 \mu (\epsilon_{xx} \epsilon_{zz} - \epsilon_{xz}^2) H_y = 0. \end{aligned} \quad (A4)$$

С учетом условия непрерывности тангенциальной компоненты волнового вектора k_x на границах раздела для гармонической волны в бесконечной среде запишем дисперсионное уравнение

$$k_z^2 + \frac{2\epsilon_{xx} k_x}{\epsilon_{zz}} k_z + \frac{\epsilon_{xx} k_x^2 + \omega^2 \mu (\epsilon_{xx} \epsilon_{zz} - \epsilon_{xz}^2)}{\epsilon_{zz}} = 0. \quad (A5)$$

Решение (A5) дает нормальные компоненты волнового вектора (3) необыкновенной волны.

ПРИЛОЖЕНИЕ Б

Произведение матриц преобразования (9) двух однородных слоев дает следующие выражения элементов результирующей матрицы:

$$\begin{aligned} L_{11}^{(2)} = & -\chi_1^{(1)} \frac{(\chi_2^{(1)} - \chi_1^{(2)})}{(\chi_1^{(1)} - \chi_2^{(1)})(\chi_1^{(2)} - \chi_2^{(2)})} \exp[j(k_1^{(1)} z^{(1)} + k_1^{(2)} z^{(2)})] + \\ & + \chi_1^{(1)} \frac{(\chi_2^{(1)} - \chi_2^{(2)})}{(\chi_1^{(1)} - \chi_2^{(1)})(\chi_1^{(2)} - \chi_2^{(2)})} \exp[j(k_1^{(1)} z^{(1)} + k_2^{(2)} z^{(2)})] + \\ & + \chi_2^{(1)} \frac{(\chi_1^{(1)} - \chi_1^{(2)})}{(\chi_1^{(1)} - \chi_2^{(1)})(\chi_1^{(2)} - \chi_2^{(2)})} \exp[j(k_2^{(1)} z^{(1)} + k_1^{(2)} z^{(2)})] - \\ & - \chi_2^{(1)} \frac{(\chi_2^{(1)} - \chi_2^{(2)})}{(\chi_1^{(1)} - \chi_2^{(1)})(\chi_1^{(2)} - \chi_2^{(2)})} \exp[j(k_2^{(1)} z^{(1)} + k_2^{(2)} z^{(2)})]; \\ L_{12}^{(2)} = & \chi_1^{(1)} \chi_2^{(2)} \frac{(\chi_2^{(1)} - \chi_1^{(2)})}{(\chi_1^{(1)} - \chi_2^{(1)})(\chi_1^{(2)} - \chi_2^{(2)})} \exp[j(k_1^{(1)} z^{(1)} + k_1^{(2)} z^{(2)})] - \\ & - \chi_1^{(1)} \chi_1^{(2)} \frac{(\chi_2^{(1)} - \chi_2^{(2)})}{(\chi_1^{(1)} - \chi_2^{(1)})(\chi_1^{(2)} - \chi_2^{(2)})} \exp[j(k_1^{(1)} z^{(1)} + k_2^{(2)} z^{(2)})] - \\ & - \chi_2^{(1)} \chi_2^{(2)} \frac{(\chi_1^{(1)} - \chi_1^{(2)})}{(\chi_1^{(1)} - \chi_2^{(1)})(\chi_1^{(2)} - \chi_2^{(2)})} \exp[j(k_2^{(1)} z^{(1)} + k_1^{(2)} z^{(2)})] + \\ & + \chi_2^{(1)} \chi_1^{(2)} \frac{(\chi_2^{(1)} - \chi_2^{(2)})}{(\chi_1^{(1)} - \chi_2^{(1)})(\chi_1^{(2)} - \chi_2^{(2)})} \exp[j(k_2^{(1)} z^{(1)} + k_2^{(2)} z^{(2)})]; \\ L_{21}^{(2)} = & -\frac{(\chi_2^{(1)} - \chi_1^{(2)})}{(\chi_1^{(1)} - \chi_2^{(1)})(\chi_1^{(2)} - \chi_2^{(2)})} \exp[j(k_1^{(1)} z^{(1)} + k_1^{(2)} z^{(2)})] + \\ & + \frac{(\chi_2^{(1)} - \chi_2^{(2)})}{(\chi_1^{(1)} - \chi_2^{(1)})(\chi_1^{(2)} - \chi_2^{(2)})} \exp[j(k_1^{(1)} z^{(1)} + k_2^{(2)} z^{(2)})] + \\ & + \frac{(\chi_1^{(1)} - \chi_1^{(2)})}{(\chi_1^{(1)} - \chi_2^{(1)})(\chi_1^{(2)} - \chi_2^{(2)})} \exp[j(k_2^{(1)} z^{(1)} + k_1^{(2)} z^{(2)})] - \\ & - \frac{(\chi_2^{(1)} - \chi_2^{(2)})}{(\chi_1^{(1)} - \chi_2^{(1)})(\chi_1^{(2)} - \chi_2^{(2)})} \exp[j(k_2^{(1)} z^{(1)} + k_2^{(2)} z^{(2)})]; \end{aligned} \quad (B1)$$

$$\begin{aligned}
L_{22}^{(2)} = & \chi_2^{(2)} \frac{(\chi_2^{(1)} - \chi_1^{(2)})}{(\chi_1^{(1)} - \chi_2^{(1)})(\chi_1^{(2)} - \chi_2^{(2)})} \exp\left[j(k_1^{(1)} z^{(1)} + k_1^{(2)} z^{(2)})\right] - \\
& - \chi_1^{(2)} \frac{(\chi_2^{(1)} - \chi_2^{(2)})}{(\chi_1^{(1)} - \chi_2^{(1)})(\chi_1^{(2)} - \chi_2^{(2)})} \exp\left[j(k_1^{(1)} z^{(1)} + k_2^{(2)} z^{(2)})\right] - \\
& - \chi_2^{(2)} \frac{(\chi_1^{(1)} - \chi_1^{(2)})}{(\chi_1^{(1)} - \chi_2^{(1)})(\chi_1^{(2)} - \chi_2^{(2)})} \exp\left[j(k_2^{(1)} z^{(1)} + k_1^{(2)} z^{(2)})\right] + \\
& + \chi_1^{(2)} \frac{(\chi_2^{(1)} - \chi_2^{(2)})}{(\chi_1^{(1)} - \chi_2^{(1)})(\chi_1^{(2)} - \chi_2^{(2)})} \exp\left[j(k_2^{(1)} z^{(1)} + k_2^{(2)} z^{(2)})\right].
\end{aligned}$$

Здесь верхний индекс означает номер слоя, $L_{mn}^{(2)}$ – элементы матрицы преобразования двухслойной структуры, $k_1^{(1)}, k_2^{(1)}$ – z -компоненты волновых чисел прямой и обратной волны в первом слое (см. (3)), $k_1^{(2)}, k_2^{(2)}$ – z -компоненты волновых чисел прямой и обратной волны во втором слое (см. (3)), величины $\chi_1^{(i)}, \chi_2^{(i)}$ – для i -го определяются выражениями (7).

Произведение матриц преобразования (6) трех однородных слоев после преобразований дает выражение для элемента $L_{11}^{(3)}$ матрицы преобразования

$$\begin{aligned}
L_{11}^{(3)} = & \chi_1^{(1)} \frac{(\chi_2^{(1)} - \chi_1^{(2)})(\chi_2^{(2)} - \chi_1^{(3)})}{(\chi_1^{(1)} - \chi_2^{(1)})(\chi_1^{(2)} - \chi_2^{(2)})(\chi_1^{(3)} - \chi_2^{(3)})} \times \\
& \times \exp\left[j(k_1^{(1)} z^{(1)} + k_1^{(2)} z^{(2)} + k_1^{(3)} z^{(3)})\right] - \\
& - \chi_1^{(1)} \frac{(\chi_2^{(1)} - \chi_1^{(2)})(\chi_2^{(2)} - \chi_1^{(3)})}{(\chi_1^{(1)} - \chi_2^{(1)})(\chi_1^{(2)} - \chi_2^{(2)})(\chi_1^{(3)} - \chi_2^{(3)})} \times \\
& \times \exp\left[j(k_1^{(1)} z^{(1)} + k_1^{(2)} z^{(2)} + k_1^{(3)} z^{(3)})\right] - \\
& - \chi_1^{(1)} \frac{(\chi_2^{(1)} - \chi_1^{(2)})(\chi_2^{(2)} - \chi_1^{(3)})}{(\chi_1^{(1)} - \chi_2^{(1)})(\chi_1^{(2)} - \chi_2^{(2)})(\chi_1^{(3)} - \chi_2^{(3)})} \times \\
& \times \exp\left[j(k_1^{(1)} z^{(1)} + k_1^{(2)} z^{(2)} + k_1^{(3)} z^{(3)})\right] + \\
& + \chi_1^{(1)} \frac{(\chi_2^{(1)} - \chi_1^{(2)})(\chi_2^{(2)} - \chi_1^{(3)})}{(\chi_1^{(1)} - \chi_2^{(1)})(\chi_1^{(2)} - \chi_2^{(2)})(\chi_1^{(3)} - \chi_2^{(3)})} \times \\
& \times \exp\left[j(k_1^{(1)} z^{(1)} + k_1^{(2)} z^{(2)} + k_1^{(3)} z^{(3)})\right] - \\
& - \chi_2^{(1)} \frac{(\chi_2^{(1)} - \chi_1^{(2)})(\chi_2^{(2)} - \chi_1^{(3)})}{(\chi_1^{(1)} - \chi_2^{(1)})(\chi_1^{(2)} - \chi_2^{(2)})(\chi_1^{(3)} - \chi_2^{(3)})} \times \\
& \times \exp\left[j(k_1^{(1)} z^{(1)} + k_1^{(2)} z^{(2)} + k_1^{(3)} z^{(3)})\right] +
\end{aligned} \tag{B2}$$

$$\begin{aligned}
& + \chi_2^{(1)} \frac{(\chi_2^{(1)} - \chi_1^{(2)})(\chi_2^{(2)} - \chi_1^{(3)})}{(\chi_1^{(1)} - \chi_2^{(1)})(\chi_1^{(2)} - \chi_2^{(2)})(\chi_1^{(3)} - \chi_2^{(3)})} \times \\
& \times \exp\left[j(k_1^{(1)} z^{(1)} + k_1^{(2)} z^{(2)} + k_1^{(3)} z^{(3)})\right] + \\
& + \chi_2^{(1)} \frac{(\chi_2^{(1)} - \chi_1^{(2)})(\chi_2^{(2)} - \chi_1^{(3)})}{(\chi_1^{(1)} - \chi_2^{(1)})(\chi_1^{(2)} - \chi_2^{(2)})(\chi_1^{(3)} - \chi_2^{(3)})} \times \\
& \times \exp\left[j(k_1^{(1)} z^{(1)} + k_1^{(2)} z^{(2)} + k_1^{(3)} z^{(3)})\right] - \\
& - \chi_2^{(1)} \frac{(\chi_2^{(1)} - \chi_1^{(2)})(\chi_2^{(2)} - \chi_1^{(3)})}{(\chi_1^{(1)} - \chi_2^{(1)})(\chi_1^{(2)} - \chi_2^{(2)})(\chi_1^{(3)} - \chi_2^{(3)})} \times \\
& \times \exp\left[j(k_1^{(1)} z^{(1)} + k_1^{(2)} z^{(2)} + k_1^{(3)} z^{(3)})\right].
\end{aligned}$$

Аналогичные выражения получаются для остальных элементов матрицы преобразования. При этом выражение (B2) может быть записано в следующей компактной форме:

$$\begin{aligned}
L_{11}^{(3)} = & (-1)^{\sum_{i=1}^3 F_{q,i}+2} \chi_{1+F_{q,1}}^{(1)} \frac{\prod_{i=1}^2 (\chi_{2-F_{q,i}}^{(i)} - \chi_{1+F_{q,i+1}}^{(i+1)})}{\prod_{i=1}^3 (\chi_1^{(i)} - \chi_2^{(i)})} \times \\
& \times \exp\left(\sum_{i=1}^3 j k_{1+F_{q,i}}^{(i)} z_i\right)
\end{aligned} \tag{B3}$$

или, учитывая $N = 3$, получим

$$\begin{aligned}
L_{11}^{(3)} = & (-1)^{\sum_{i=1}^N F_{q,i}+N-1} \chi_{1+F_{q,1}}^{(1)} \frac{\prod_{i=1}^{N-1} (\chi_{2-F_{q,i}}^{(i)} - \chi_{1+F_{q,i+1}}^{(i+1)})}{\prod_{i=1}^N (\chi_1^{(i)} - \chi_2^{(i)})} \times \\
& \times \exp\left(\sum_{i=1}^N j k_{1+F_{q,i}}^{(i)} z_i\right),
\end{aligned} \tag{B4}$$

где $F_{q,1}$ – функция, определяемая выражением (13). Продолжая перемножения матриц, можно записать аналогичные выражения для четырех, пяти и т.д. слоев. Далее, с использованием метода ма-

тематической индукции было проверено, что такие же выражения получаются для произвольного N числа слоев. Полные преобразования не представлены здесь ввиду их громоздкости.

СПИСОК ЛИТЕРАТУРЫ

1. *Otón E., Morawiak P., Mazur R. et al.* // J. Lightwave Technol. 2019. V. 37. № 9. P. 2086.
2. *Аверин С.В., Кузнецов П.И., Житов В.А. и др.* // РЭ. 2019. Т. 64. № 10. С. 1038.
3. *Barabanova E., Vytovtov K., Trong Thanh Nguyen* // J. Phys.: Conf. Ser. 2019. V. 1368/2 <https://iopscience.iop.org/article/10.1088/1742-6596/1368/2/022002>
4. *Wey J.Sh., Zhang J.* // J. Lightwave Technol. 2019. V. 37. № 12. P. 2830.
5. *Parygin D.S., Finogeev A.G., Kamaev V.A. et al.* // J. Phys.: Conf. Ser. : Proc. Intern. Conf. on Inform. Technol. in Business and Industry 2016, Tomsk, Russia, 21–23 September 2016. IOP Publishing, 2017. V. 803 / 012112. P. 1–6. <http://iopscience.iop.org/article/10.1088/1742-6596/803/1/012112/pdf>.
6. *Velázquez-Benítez A.M., Reyes-Medrano M., Vélez-Cordero J.R., Hernández-Cordero J.* // J. Lightwave Technol. 2015. V. 33. № 1. P. 176.
7. *Scolari L., Alkeskjold Th. T., Riishede J. et al.* // Opt. Express. 2005. V. 13. № 19. P. 7483.
8. *Микаэлян А.Л.* Теория и применение ферритов на сверхвысоких частотах. М.;Л.: Госэнергоиздат, 1963.
9. *Лакс Б., Баттон К.* Сверхвысокочастотные ферриты и ферримагнетики / Пер. с англ. М.: Мир, 1965.
10. *Lee J.K., Kong J.A.* // J. Opt. Soc. Amer. A. 1985. V. 2. № 12. P. 2171.
11. *Veniaminova Y., Stashkevich A.A., Roussigné Y. et al.* // Opt. Mater. Express. 2012. V. 2. № 9. P. 1260.
12. *Yeon H. Lee, Chong-Hoon Kwak, El-Hang Lee* // J. Opt. Soc. Amer. B. 1996. V. 13. № 12. P. 2762.
13. *Журавлев В.Ф.* Основы теоретической механики. М.: Физматлит, 2001.
14. *Vytovtov K.* // J. Opt. Soc. Amer. A. 2005. V. 22. № 4. P. 689.
15. *Борн М., Вольф Э.* Основы оптики. 1973. М.: Наука, 1973.
16. *Вытовтов К.А.* // РЭ. 2001. Т. 46. № 2. С. 159.
17. *Vytovtov K., Barabanova E., Vishnevskiy V.* // Proc. Communications in Computer and Information Science. 2019. V. 1141. P. 199